- Л.В. Корнева, А.Ю. Сюсюкин. М.: Теплотехник, 2007. 280 с.
- 4. Федин В.М. Объемно-поверхностная закалка деталей подвижного состава и верхнего строения пути. М.: Интекст, 2002. 208 с
- 5. Масару Уэда, Кацуя Ивано, Такэси Ямамото. Характеристики термоупрочненных рельсов и новейшие разработки Nippon Steel // Инженерные решения. 2012. Январь. С. 9 11.
- 6. Корнева Л.В., Юнин Г.Н., Козырев Н.А., Атконова О.П., Полевой Е.В. Сравнительный анализ показателей качества рельсов ОАО «Новокузнецкий металлургический комбинат» и зарубежных производителей // Изв. вуз. Черная металлургия. 2010. № 12. С. 38 42.

© 2014 г. К.В. Волков, Е.В. Полевой, М.В. Темлянцев, О.П. Атконова, А.М. Юнусов, А.Ю. Сюсюкин Поступила 28 августа 2014 г.

УДК 62-419.5:620.172.224:519.876.5

Л.М. Гуревич, Ю.П. Трыков, А.А. Голик, И.А. Пономарева, В.Н. Арисова Волгоградский государственный технический университет

## ИССЛЕДОВАНИЕ С ПОМОЩЬЮ КОМПЬЮТЕРНОГО МОДЕЛИРОВАНИЯ КОНТАКТНОГО УПРОЧНЕНИЯ АЛЮМИНИЕВОЙ ПРОСЛОЙКИ ПРИ РАСТЯЖЕНИИ МАГНИЕВО-АЛЮМИНИЕВЫХ КОМПОЗИТОВ\*

При сварке плавлением магния с алюминием образуются хрупкие интерметаллиды, резко снижающие работоспособность конструкций, поэтому обычно используются сваренные взрывом магниево-алюминиевые переходники [1] различных конструкций. Наиболее часто используют два типа соединений: 1) композиция МА2-1-АД1-АМг6, применяемая для эксплуатации при температурах от -196 до +100 °C, не допускающая при дуговой сварке перегрева границы АД1-МА2-1; 2) четырехслойная композиция МА2-1-ВТ1-0-АД1-АМг6, рассчитанная на эксплуатацию в диапазоне температур от -196 до +500 °C. Прочность таких соединений в направлении, нормальном границе раздела слоев, определяется свойствами наиболее слабого из составляющих материалов, которым обычно является прослойка алюминия, играющим роль буфера пластичности и диффузионного барьера. С уменьшением толщины прослойки (ее обычно характеризуют относительной толщиной  $\chi =$ h/d, где h – толщина прослойки, d – диаметр испытываемого образца) начинает проявляться эффект контактного упрочнения. Для расчета прочности композитов с мягкими прослойками ранее разработан графоаналитический метод [1, 2], обеспечивающий приемлемые для практики результаты. После разработки метода конечных элементов и создания на его основе пакетов компьютерных программ, например SIMULIA/ABAQUS, появилась возможность более точного моделирования поведения различных процессов — от гидродинамических потоков расплавов металлов [3] и температурных полей в нагреваемых слябах под прокатку [4] до деформации композиционных материалов с резко различающимися по прочностным характеристикам слоями.

Целью настоящей работы являлась верификация моделирования с использованием пакета компьютерных программ SIMULIA/ABAQUS поведения при растяжении магниевоалюминиевых композитов с мягкой прослойкой при нормальной и повышенных температурах.

Для верификации результатов моделирования был изготовлен сваркой взрывом слоистый композит MA2-1-AД1-AMr6, в котором толщина алюминиевого подслоя изменялась в диапазоне 0,1-1,5 мм, а толщины магниевого

<sup>\*</sup>Исследование выполнено при поддержке гранта Российского научного фонда (проект №14-19-00418).

и алюминиевого сплавов оставались неизменными (соответственно 20 и 10 мм). Оптимизированные параметры сварки взрывом трехслойной композиции обеспечивали прочность сварных соединений на уровне прочности алюминия (с учетом повышения этого показателя из-за роста плотности дислокаций при взрывном нагружении и контактного упрочнения). Отжиг композиционного материала при 100 °С в течение 1 ч частично устранял взрывное упрочнение алюминия.

Из трехслойного материала МА2-1-АД1-АМг6 в состоянии после сварки и отжига механически вырезали стандартные цилиндрические образцы для испытаний на растяжение (длина рабочей части 20 мм), ось которых перпендикулярна поверхностям соединения слоев. Результаты испытаний на растяжение по нормали к линии соединения показали [5], что с уменьшением относительной толщины алюминиевого подслоя  $\chi = h/d$  прочность трехслойного материала после сварки и термической обработки постепенно возрастала от 100 -120 МПа при  $\chi = 0.5$  до 200 МПа при  $\chi = 0.03$ (рис. 1). Разрушение образцов при  $\chi = 0.03$  происходило по сплаву магния МА2-1, и прочность композита уже не определялась прочностью алюминиевой прослойки. При у> 0,2 продольная остаточная деформация преимущественно локализовалась в алюминии, определяющим пластичность всего соединения. Уменьшение х

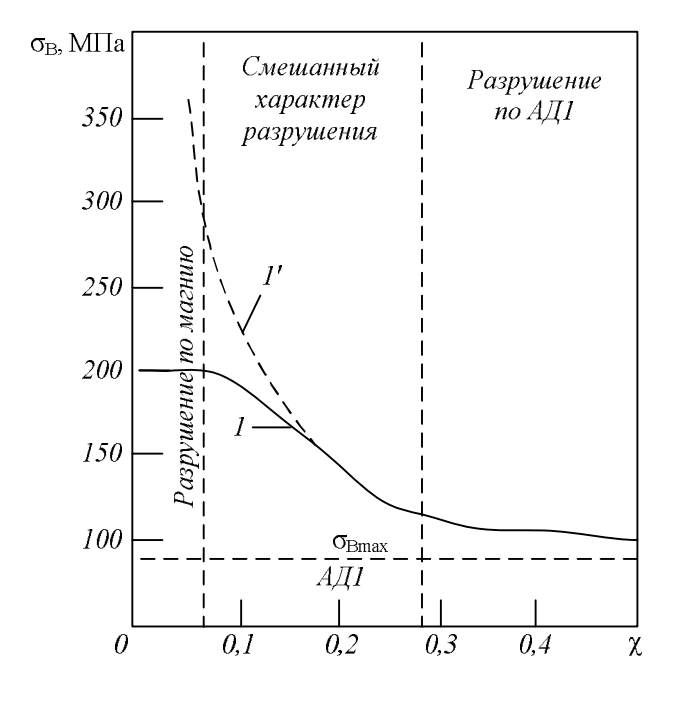


Рис. 1. Зависимость прочности композита после термической обработки при 100 °С в течение 1 ч от относительной толщины алюминиевого слоя:

1 и 1′ – экспериментальная и расчетная кривые

до 0,07 приводило к стеснению пластической деформации в сплаве АД1, постепенному снижению общей пластичности и заметному вовлечению сплавов МА2-1 и АМг6 в пластическую деформацию, в основном, в приконтактной с прослойкой АД1 области.

Верификация моделирования процессов деформирования и разрушения при растяжении цилиндрического образца диам. 6 мм трехслойного магниево-алюминиевого композита МА2-1-АД1-АМг6 методом конечных элементов проверялась с использованием модуля Abaqus/Explicit программного комплекса SIMULIA/Abagus компании Dassault Systumes Simulia Corp. (USA), использующего явную схему интегрирования для сильно нелинейных переходных быстротекущих динамических процессов. Расчет проводился с использованием модели Мизеса. Для расчета упрочнения материалов в результате пластического деформирования использовали модель Джонсона-Кука [6], согласно которой предел текучести определяется формулой

$$\sigma_Y = \left(A + B\varepsilon_p^n \left(1 + C \ln \frac{\dot{\varepsilon}_p^n}{\dot{\varepsilon}_0}\right) \left[1 - \left(\frac{T - T_r}{T_m - T_r}\right)^m\right], \quad (1)$$

где A — предел текучести неупрочненного материала; B — коэффициент упрочнения при деформировании; C — коэффициент зависимости упрочнения от скорости деформирования;  $\epsilon_p$  — эффективная пластическая деформация;  $T_m$  — температура плавления;  $T_r$  — комнатная температура; n, m,  $\epsilon_0$  — параметры модели;  $\dot{\epsilon}_0$  и  $\dot{\epsilon}_p$  — первые производные по времени величин  $\epsilon_0$  и  $\epsilon_p$ 

Формула (1) по сути представляет собой кривую деформирования материала. Для описания разрушения материала использовалась модель Джонсона—Кука [7], согласно которой разрушение конечного элемента происходит, когда параметр поврежденности D становится равным единице:

$$D = \frac{1}{\varepsilon_f} \sum_{i} \Delta \varepsilon_p^i; \tag{2}$$

здесь  $\Delta \epsilon_p^i$  — приращение эффективной пластической деформации в конечном элементе на i-м шаге интегрирования по времени; величина  $\epsilon_f$  вычисляется по формуле

$$\varepsilon_{f} = \left[ D_{1} + D_{2} \exp \left( D_{3} \frac{p}{\sigma_{ef}} \right) \right] \left( 1 + D_{4} \ln \frac{\varepsilon_{p}}{\varepsilon_{0}} \right) \times \left( 1 + D_{5} \frac{T - T_{r}}{T_{m} - T_{r}} \right), \tag{3}$$

где  $D_1, ..., D_5$  – параметры материала;  $\sigma_{ef}$  – эффективное напряжение; p – давление в рассматриваемом конечном элементе.

Значения параметров для выбранных материалов, взятые из работ [8, 9], приведены в табл. 1, 2. В связи с низкой скоростью деформирования ( $\dot{\epsilon}_p < 0{,}0025~\text{c}^{-1}$ ) ее влияние не учитывалось

Цилиндрическая форма образцов позволяла задавать элементы композита в виде деформируемых осесимметричных тел [10] и рассчитывать напряжения и деформации в радиальном сечении, что значительно сокращало время моделирования. Относительная толщина прослойки АД1 варьировалась от  $\chi_{AД1} = 0,66$ (4 мм) до  $\chi_{AЛ1} = 0.033 (0.1 \text{ мм})$ , а толщины слоев сплавов АМг6 и МА2-1 составляли 10 мм. Прочность связей между слоями соответствовала прочности наименее прочного элемента пары. Размер сторон квадратных ячеек конечно-элементной сетки в элементах композита из сплавов АМг6 и МА2-1составлял 0,10 мм. Размер прямоугольных ячеек в мягкой прослойке АД1 в радиальном направлении соответствовал размерам ячеек сплавов АМг6 и МА2-1, а в осевом направлении составлял 1/40 толщины мягкой прослойки. Моделируемая образца скорость растяжения составляла 0,02 мм/с. Различия в поведении композита

определялись при температурах от нормальной до 300 °C.

Полученные при моделировании значения предела прочности композитов МА2-1-АД1-АМг6 при различных относительных толщинах прослойки  $\chi_{AЛ1}$  хорошо коррелируют с экспериментально определенными величинами для композита, отожженного при 100 °C в течение 1 ч (рис. 1). Проведенное моделирование показало изменение характера деформирования и разрушения основных слоев композита при варьировании относительной толщины мягкой прослойки (рис. 2, 3), причем характер зависимости во многом определяется температурой испытания. При нормальной температуре в области  $\chi_{AДI} > 0.016$  разрушение при моделировании происходило по прослойке АД1, но уменьшение ее относительной толщины сопровождалось ростом пластической деформации в магниевом сплаве МА2-1 с образованием шейки в сплаве Mr6 при  $\chi_{AД1}$ = 0,016 (рис. 2, a).

Увеличение температуры приводило к снижению общей прочности композита и сохранению разрушения по алюминиевой прослойке даже при  $\chi_{\rm AД1} = 0.016$  (рис. 3, a). Кривые деформация – напряжения при различных температурах для композиционных образцов с относительными толщинами алюминиевой прослойки  $\chi_{\rm AД1} = 0.016$  и  $\chi_{\rm AД1} = 0.667$  показаны на рис. 4. Повышение температуры снижало расчетную прочность композиционных образцов. Зависимость максимального удлинения образца от температуры испытаний имеет более сложный характер: при использовании мягкой прослойки больших толщин (рис. 4,  $\delta$ ) повышение температуры способствует быстрой

Таблица 1 Использованные коэффициенты для модели пластичности Джонсона–Кука [6]

Материал	А, МПа	В, МПа	m	n	$\dot{\epsilon}_0$ , $c^{-1}$	$T_m$ , $K$	$T_r, K$
Сплав АМг6	218,3	704,6	0,93	0,62	1	773	293
Алюминий	60,0	6,4	0,859	0,62	1	933	293
Сплав MA2-1 (аналог AZ31B-O)	100,0	380	1,04	0,28	1	773	293

Таблица 2

### Использованные коэффициенты для модели разрушения Джонсона-Кука [7]

Материал	$D_1$	$D_2$	$D_3$	$D_4$	$D_5$	$\dot{\epsilon}_0,c^{-1}$	T <sub>m</sub> , K	$T_r$ , K
Сплав АМг6	0,178	0,389	-2,246	0	0	1	873	293
Алюминий	0,071	1,428	-1,142	0,0097	0	1	933	293
Сплав MA2-1 (аналог AZ31B-O)	-0,35	0,6025	-0,4537	0,206	7,2	1	773	293

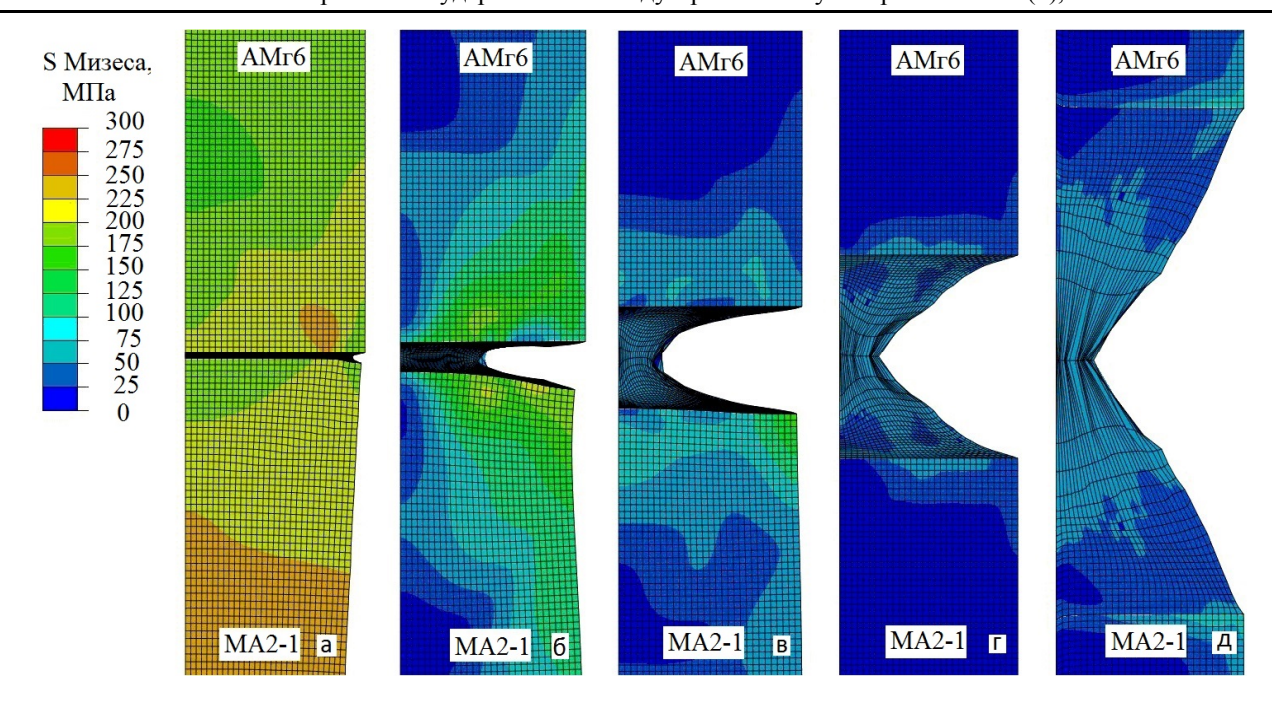


Рис. 2. Изменение характера деформирования в композите MA2-1-AД1-AMr6 ячеек слоев MA2-1 и АД1 при нормальной температуре и варьировании относительной толщины мягкой прослойки  $\chi_{\rm AД1}$ :  $a-\chi_{\rm AД1}=0,016; \, \delta-\chi_{\rm AД1}=0,033; \, s-\chi_{\rm AД1}=0,067; \, z-\chi_{\rm AД1}=0,166; \, \partial-\chi_{\rm AД1}=0,667$ 

локализации деформации в формирующейся шейке и, соответственно, снижению относительного удлинения. Для прослойки с  $\chi_{\rm AД1}$  = 0,016 (рис. 4, a) наименьшие значения относительного удлинения получены в интервале моделируемых температур 100-200 °C вследствие уменьшения вовлечения магниевого сплава в пластическую деформацию.

Полученные результаты указывают на необходимость тщательного подхода к выбору толщины технологической прослойки АД1 в трехслойном композите MA2-1–АД1–АМг6, включая математическое моделирование поведения изделия из композиционного материала при возможных схемах нагружения, для обеспечения необходимого запаса пластичности материала в условиях эксплуатации. Вместе с тем практическое получение слоя АД1 в 100 мкм в композиционном материале МА2-1-АД1-АМг6 затруднено даже в случае использования при сварке взрывом не листового алюминия, а предварительно сваренной взрывом и прокатанной трехслойной прослойки МА2-1-АД1-АМг6 с расчетным соотношением слоев

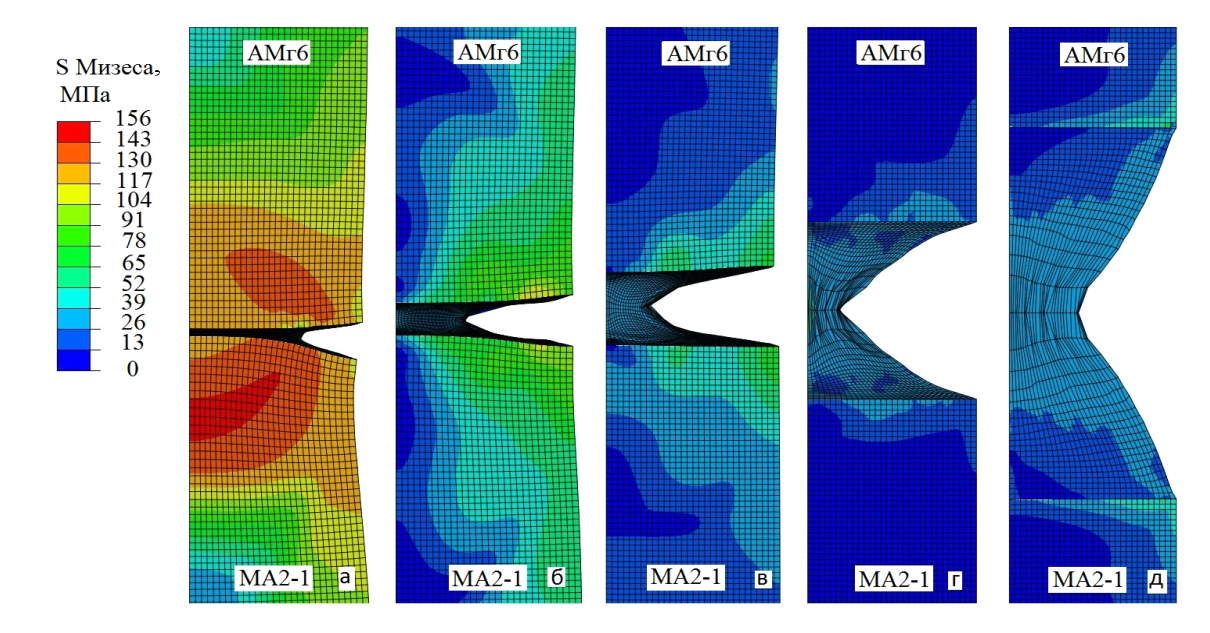
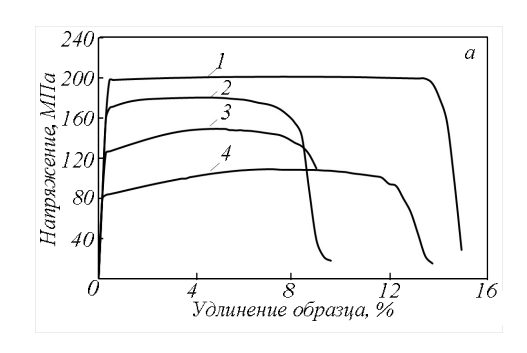


Рис. 3. Изменение характера деформирования в композите MA2-1–AД1–AMr6 ячеек слоев MA2-1 и АД1 при температуре  $300^{\circ}$ С и варьировании относительной толщины мягкой прослойки  $\chi_{\rm AД1}$ :  $a-\chi_{\rm AД1}=0,016;\ \delta-\chi_{\rm AД1}=0,033;\ s-\chi_{\rm AД1}=0,067;\ z-\chi_{\rm AД1}=0,166;\ \partial-\chi_{\rm AД1}=0,667$ 



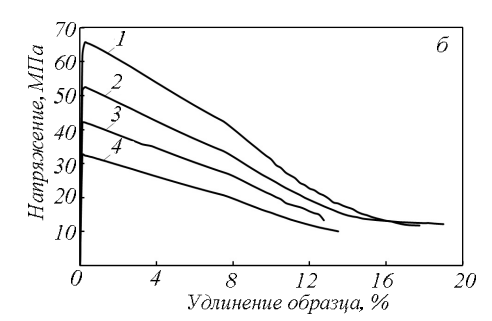


Рис. 4. Кривые деформация – напряжения при различных температурах для композиционных образцов MA2-1–AД1–AMr6 с относительными толщинами алюминиевой прослойки  $\chi_{\rm AД1}$  = 0,016 (*a*) и  $\chi_{\rm AД1}$  = 0,667 (*б*): I – нормальная температура; 2 – 100 °C; 3 – 200 °C; 4 – 300 °C

по аналогии с ранее созданной технологией получения четырехслойного композита титан — ниобий — медь — сталь [11]. Причиной этого является ухудшение при прокатке условий совместной деформации слоев, вызывающей в конечном счете разрушение по границе АД1— MA2-1 или по магниевому сплаву MA2-1 вследствие снижения его деформационной способности по мере увеличения обжатия.

Выводы. Сравнением с экспериментальными данными верифицированы результаты моиспользованием делирования c модуля Abagus/Explicit программного комплекса SIMULIA/Abaqus поведения в процессе осевого растяжения нормально к линии соединения при комнатных и повышенных температурах трехслойной композиции МА2-1-АД1-АМг6 с различными толщинами мягкой прослойки. Методами конечно-элементного моделирования подтверждено, что уменьшение относительной толщины алюминиевой прослойки приводит к росту прочности композита с локализацией пластической деформации в алюминиевом сплаве АД1. Только при относительной толщине  $\chi_{AД1} \le 0,033$  начинается заметное деформирование алюминиевого сплава АМг6, увеличивающееся по мере роста температуры.

#### БИБЛИОГРАФИЧЕСКИЙ СПИСОК

- 1. Трыков Ю.П., Гуревич Л.М., Шморгун В.Г. Слоистые композиты на основе алюминия и его сплавов. М.: Металлургия, 2004. 230 с.
- **2.** Трыков Ю.П., Гуревич Л.М., Проничев Д.В. Композиционные переходники. Волгоград: РПК «Политехник», 2007. 328 с.
- 3. Фейлер С.В., Протопопов Е.В., Комшуков В.П., Ганзер Л.А. Разработка математической модели и численные расчеты гидродинамических потоков стали в промежуточном ковше машины непрерывного литья заготовок // Изв. вуз. Черная металлургия. 2008. № 12. С. 15 21.

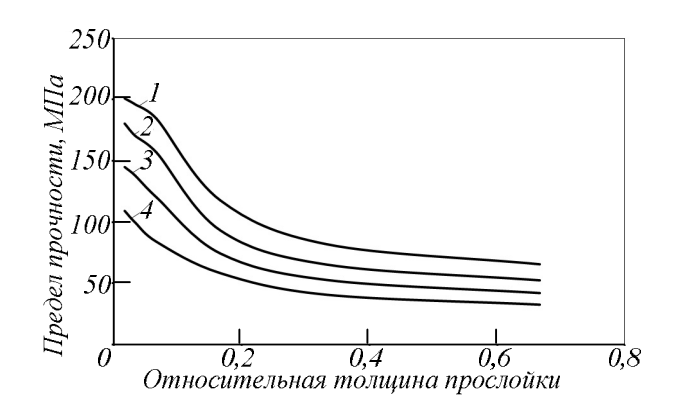


Рис. 5. Зависимость определенного при моделировании временного сопротивления разрыву от относительной толщины алюминиевой прослойки в композите AMr6–AД1–MA2-1: I – нормальная температура; 2-100 °C; 3-200 °C; 4-300 °C

- 4. Перетятько В.Н., Темлянцев Н.В., Темлянцев М.В., Михайленко Ю.Е. Нагрев стальных слябов: учебное пособие для студентов высших учебных заведений, обучающихся по направлению 150100 Металлургия. М.: Теплотехник, 2008. 178 с.
- 5. Гуревич Л. М., Трыков Ю.П., Арисова В.Н., Пономарева И.А., Голик А.А. Моделирование контактного упрочнения в магниево-алюминиевых композитах // Известия ВолгГТУ. Серия Проблемы материаловедения, сварки и прочности в машиностроении. Вып. 9. № 9 (136). 2014. С. 72 76.
- **6.** Johnson G.R., Cook W.H. Aconstitutivemodelanddataformetalssubjectedtolargestrains, highstrainratesandhightemperatures // Proc. of 7th Symposium on Ballistics, Hague, Netherlands, 1983. P. 541 547.
- 7. Johnson G.R., Cook W.H. Fracture characteristics of three metals subjected to various strains, strain rates, temperatures, and pressures // Engineering Fracture Mechanics. 1985. Vol. 21. P. 31 48.
- **8.** Кузькин В.А., Михалюк Д.С. Применение численного моделирования для

- идентификации параметров модели Джонсона—Кука при высокоскоростном деформировании алюминия // Вычислительная механика сплошных сред. 2010. Т. 3.  $\mathbb{N}$  1. С. 32-43.
- 9. Giraud E., Rossi F., Germain G., Outeiro J.C. Constitutive Modelling of AZ31B-O Magnesium Alloy for Cryogenic Machining // 14<sup>th</sup> CIRP Conference on Modeling of Machining Operations (CIRP CMMO), (CIRP CMMO), Italy (2013). DOI: 10.1016/j.procir. 2013.06.144.
- **10.** Abaqus 6.12. Analysis User's Manual. Vol. 1. Part 1. Introduction, spatial modeling and execution. DassaultSystumesSimulia Corp., Providence, RI, USA, 2012. 831 p.
- 11. Гуревич Л.М., Трыков Ю.П., Голик А.А. Моделирование контактного упрочнения титано-стального композита с мягкой прослойкой /// Известия ВолгГТУ. Серия Проблемы материаловедения, сварки и прочности в машиностроении. Вып. 9. № 9 (136). 2014. С. 68 72.

© 2014 г. Л.М. Гуревич, Ю.П. Трыков, А.А. Голик, И.А. Пономарева, В.Н. Арисова Поступила 28 августа 2014 г.

УДК 669.162.12:622

#### В.М. Павловец

Сибирский государственный индустриальный университет

# ПРИНЦИПЫ СТРУКТУРООБРАЗОВАНИЯ ЗА СЧЕТ РАСШИРЕНИЯ ФУНКЦИОНАЛЬНЫХ ВОЗМОЖНОСТЕЙ ТЕХНОЛОГИИ ПОЛУЧЕНИЯ ОКАТЫШЕЙ

Технологическая схема производства железорудных окатышей включает в себя окомкование шихты с получением влажных окатышей на
низкотемпературной стадии процесса и упрочняющую термическую обработку окомкованного сырья на высокотемпературной стадии технологии, после которой окисленные окатыши
пригодны для длительной транспортировки к
потребителям и для последующей плавки или
металлизации. Упрочняющая термическая обработка окатышей в режимах сушки, подогрева
и обжига с использованием 100 % технологического топлива (20 — 25 м³/т) и 80 % электро-

энергии (5 — 10 кВт·ч/т) осуществляется на обжиговых конвейерных машинах, где и происходит основное структурообразование (формируется пористость, межчастичная минеральная связка). Процессы формирования формы и размеров пор, характера (открытая, закрытая) пористости при обжиге являются трудноконтролируемыми, поскольку на них накладываются многочисленные сопутствующие физико-химические процессы. Окомкование влажной железорудной шихты на низкотемпературной стадии технологии в окомкователе свободно от внешнего теплового и струк-